

胞嘧啶碱基编辑蛋白APOBEC的系统发生与结构分析

Phylogenic and Structural Analysis of the Cytosine Editing Protein APOBEC

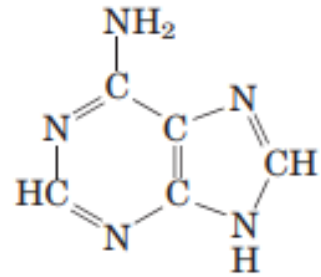
第十组：饶希晨 朱擎国 金一帆 王洪光

The background is a faded, light-colored image of a traditional Chinese landscape. On the left, a tall, multi-tiered pagoda stands prominently. To the right, a pavilion with a curved roof is visible near a body of water. The scene is surrounded by trees and foliage, creating a serene and historical atmosphere.

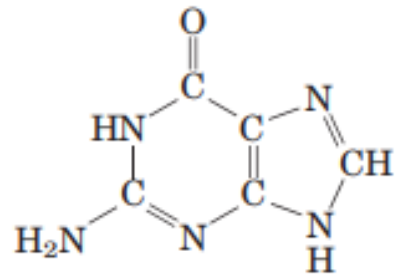
背景介绍

单碱基编辑器是什么？

主要的碱基及其脱氨反应

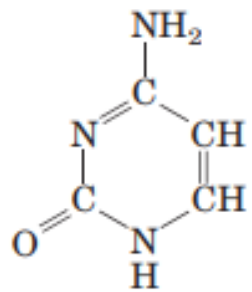


Adenine

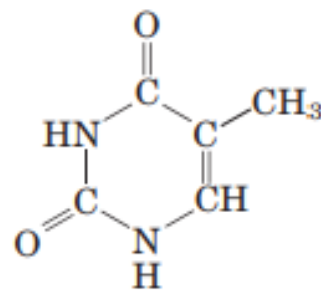


Guanine

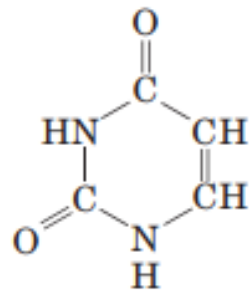
Purines



Cytosine

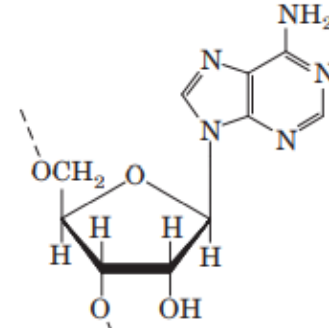


Thymine
(DNA)

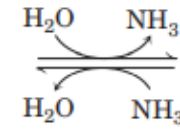


Uracil
(RNA)

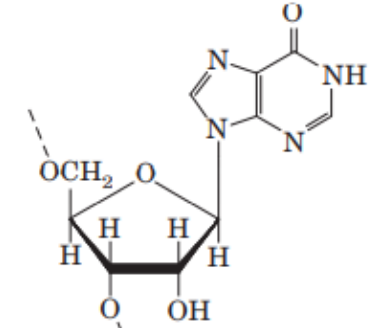
Pyrimidines



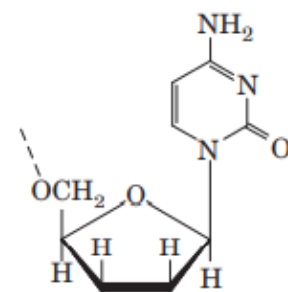
Adenosine



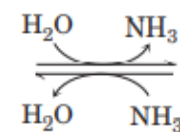
(a)



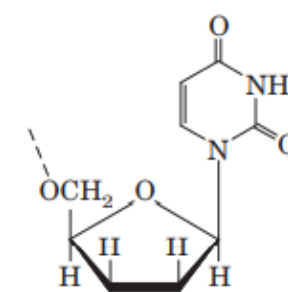
Inosine



Cytidine

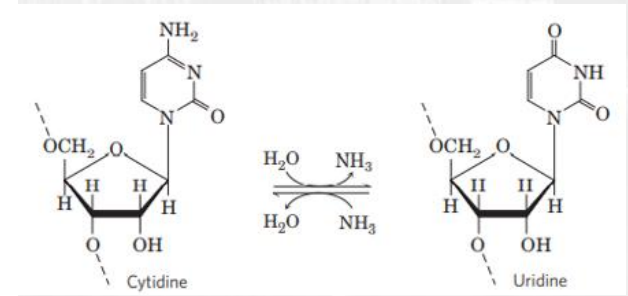
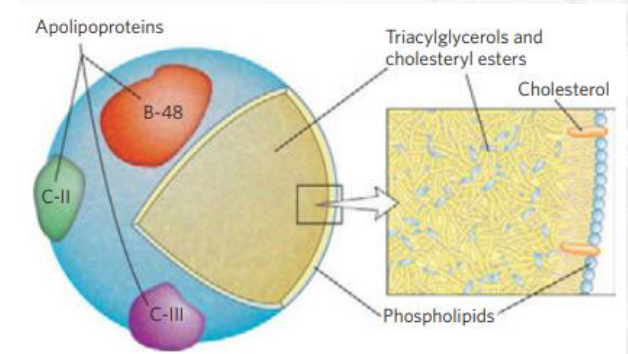
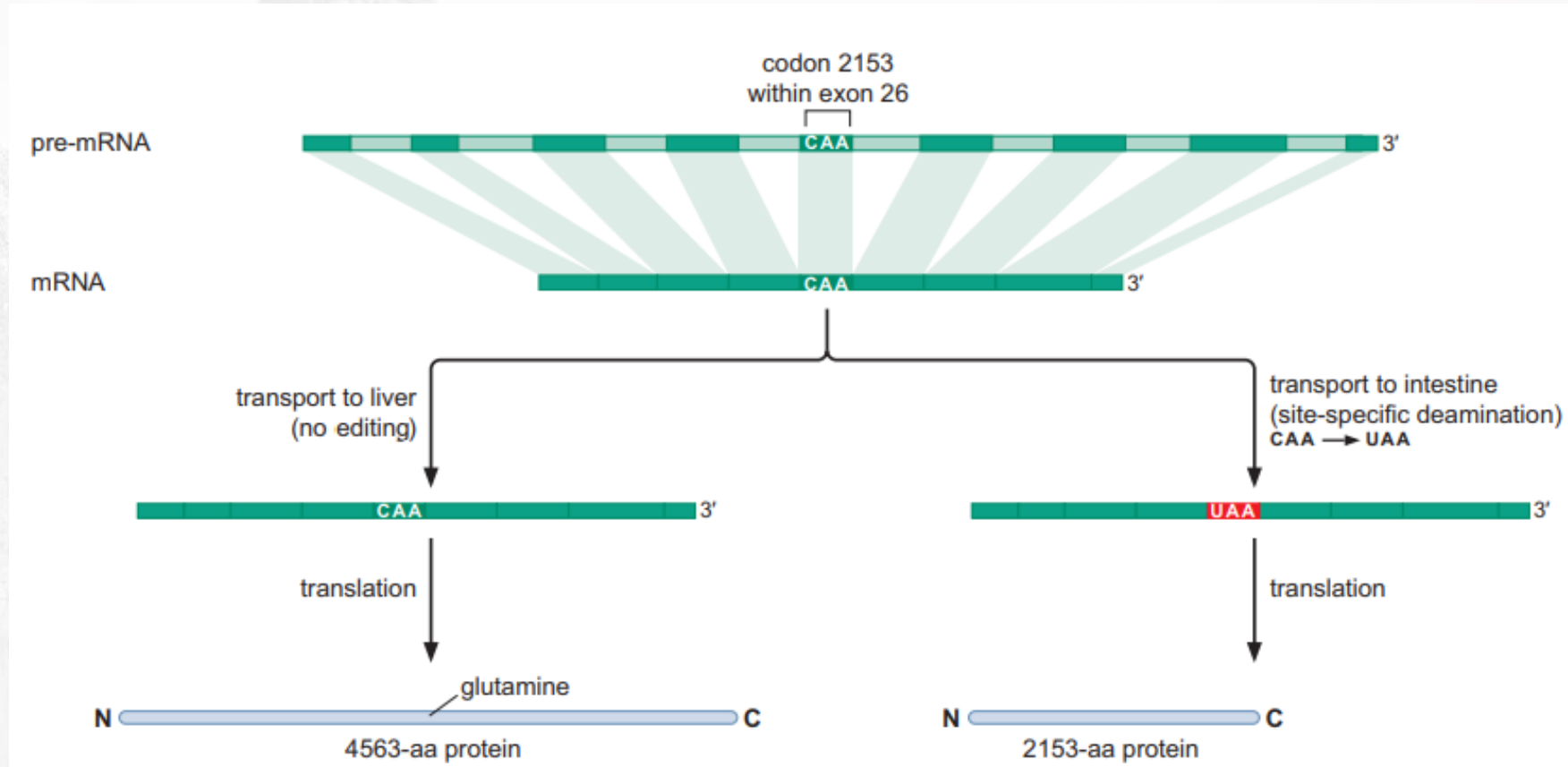


(b)



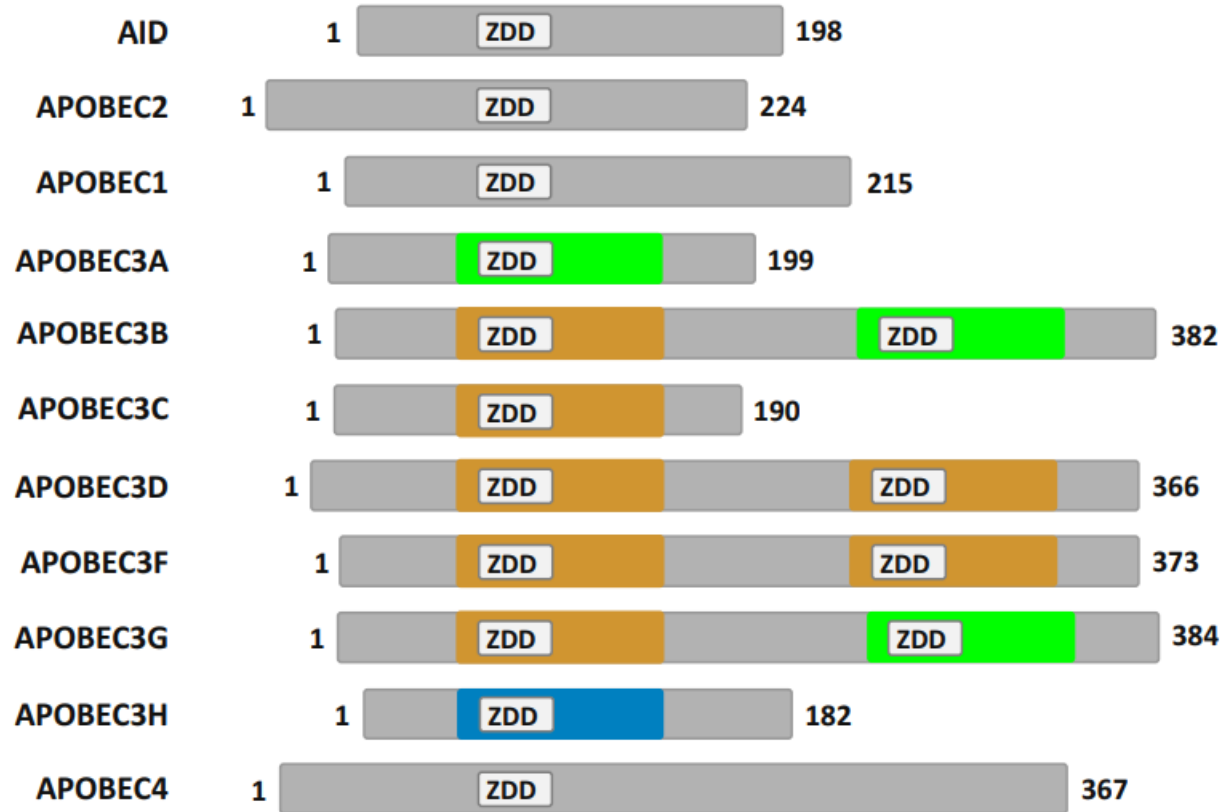
Uridine

APOBEC蛋白的发现



APOBEC (apolipoprotein B mRNA editing catalytic polypeptide-like)
 Family 载脂蛋白

APOBEC蛋白家族及其功能



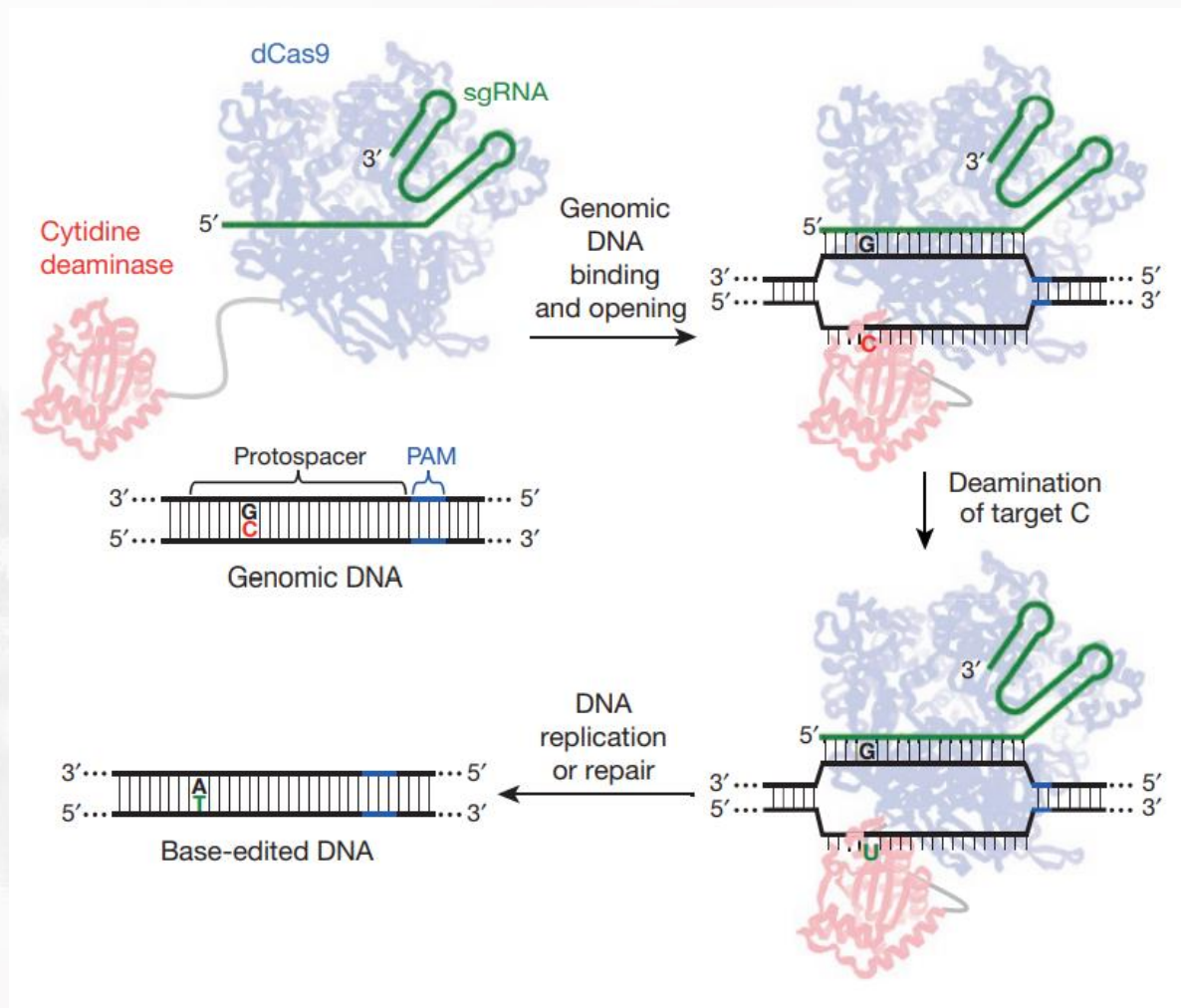
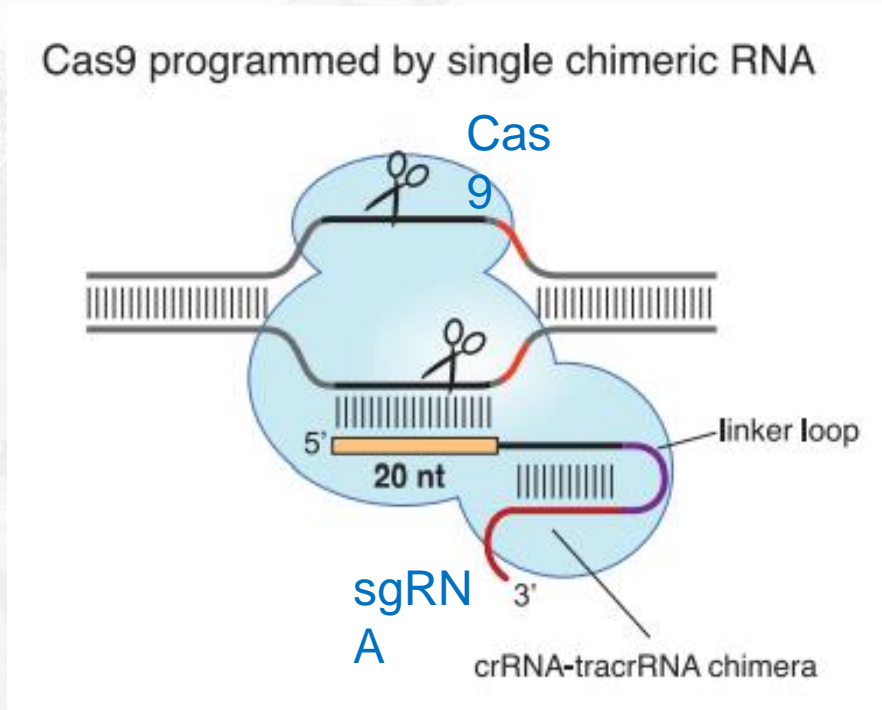
ZDD: zinc-dependent cytidine deaminase domain

Table 1

Genomic structure, function and sequence specificity of APOBEC superfamily.

Gene	Chromosomal location	No of exons	Function	Tissue specific expression
AID	12p13	5	Immunoglobulin diversification	Activated B cells
APOBEC1	12p13.1	5	Lipid metabolism and transport	Gastrointestinal tract
APOBEC2		3	Mitochondrial function	Differentiated skeletal and cardiac muscle
APOBEC3A	22q13.1	5	Viral restriction	Monocytes/ macrophages, non-progenitor cells
APOBEC3B	22q13.1	8	Viral restriction	IFN/-activated liver cells
APOBEC3C	22q13.1	4	Viral restriction	Immune centers, peripheral blood cells
APOBEC3D	22q13.1	7	Viral restriction	Immune centers, peripheral blood cells
APOBEC3F	22q13.1	8	Viral restriction	Immune centers, peripheral blood cells, IFN/-activated liver cells
APOBEC3G	22q13.1	8	Viral restriction	Immune centers, peripheral blood cells, IFN/-activated liver cells
APOBEC3H	22q13.1	5	Viral restriction	Immune centers, peripheral blood cells
APOBEC4	1q25.3	2	Unknown	

从突变子变为编辑器



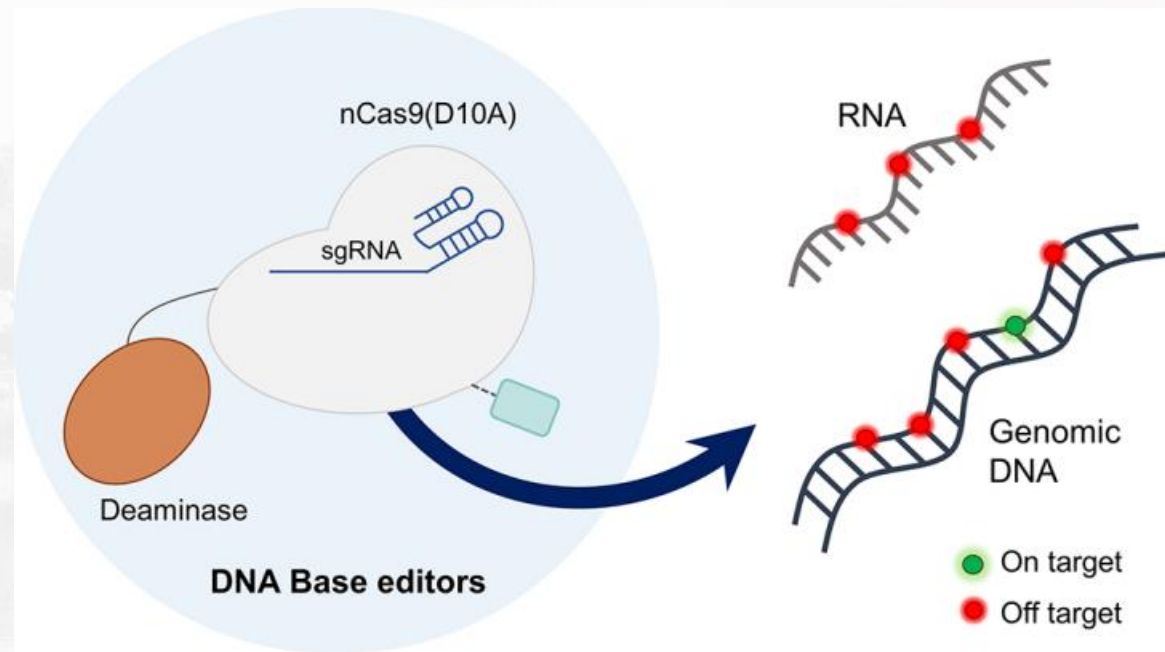
Cytidine base editor (CBE)

胞嘧啶碱基编辑器（Cytidine base editor, CBE）的缺点

By-product in editing window

sequence	% of total reads
...CCCCCCC...	62.4
...TTTTTCC...	18.2
...TTTTTTC...	13.4
...TTTTTTT...	3.3
...TCCCCCC...	0.8
...CCCCTTCC...	0.3
...CCCTTTCC...	0.3
...TTTTTCCC...	0.3
...CCCCTCCC...	0.3

Genome-wide and Transcriptome-wide Off-Target Editing

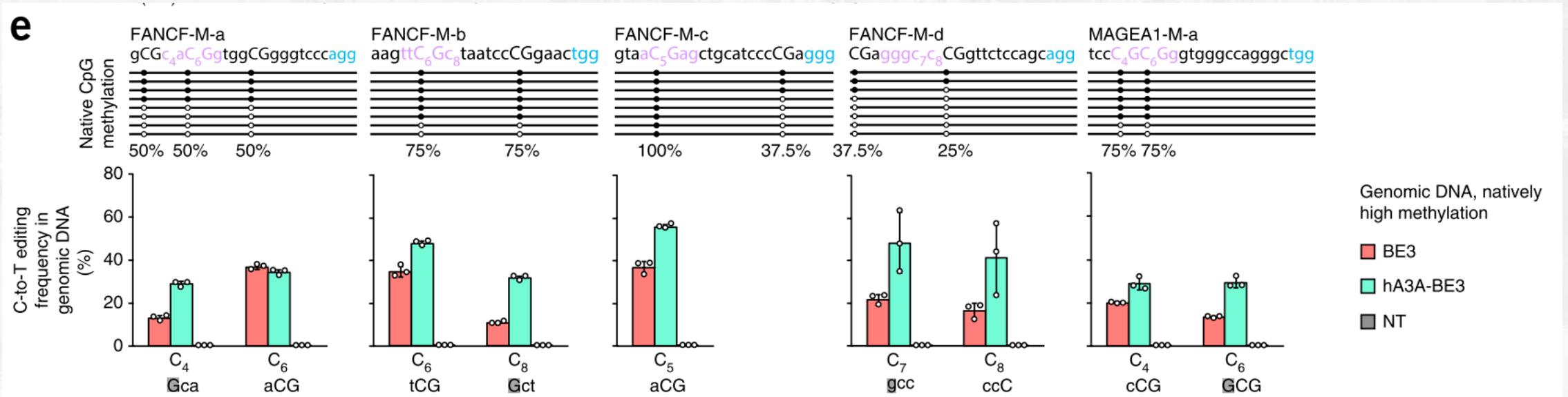


基于结构改进Human APOBEC3A (hAPOBEC3A)

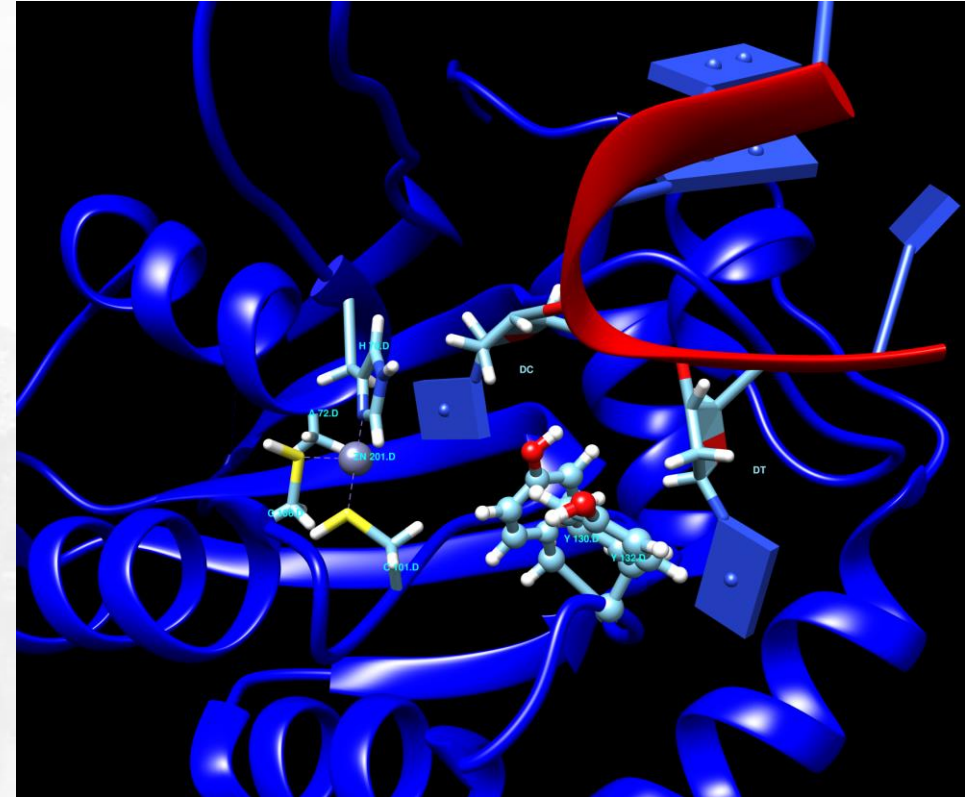
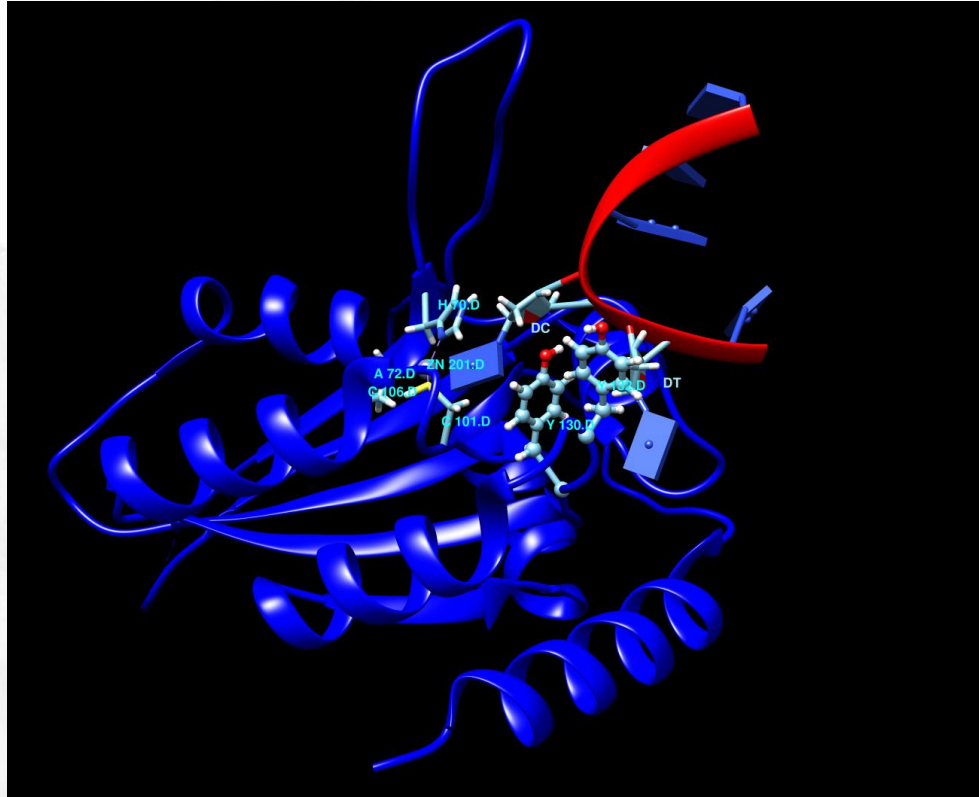
以晶体结构为基础，理性突变与DNA结合、脱氨酶活性相关的氨基酸，从而缩小编辑窗口或减少脱靶效应

hAPOBEC3A

- 由于基因组上存在CpG甲基化位点，rAPOBEC1的脱氨酶活性会有所降低；在这些位点上，hAPOBEC3A比rAPOBEC1拥有更高的C-to-T编辑活性
- 但是新的hAPOBEC3A-BE3的编辑窗口过大，需要缩小

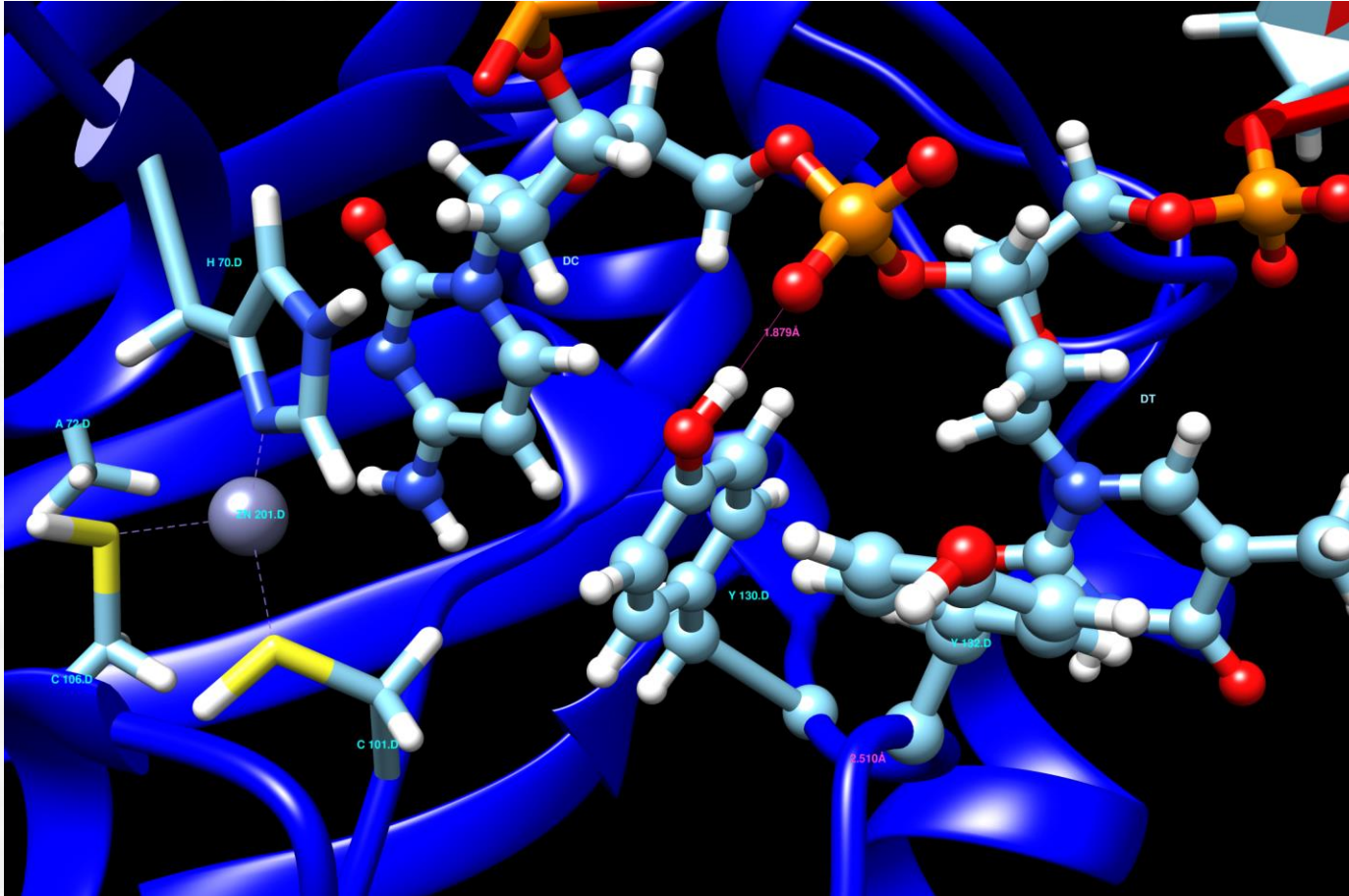


hAPOBEC3A-ssDNA结构



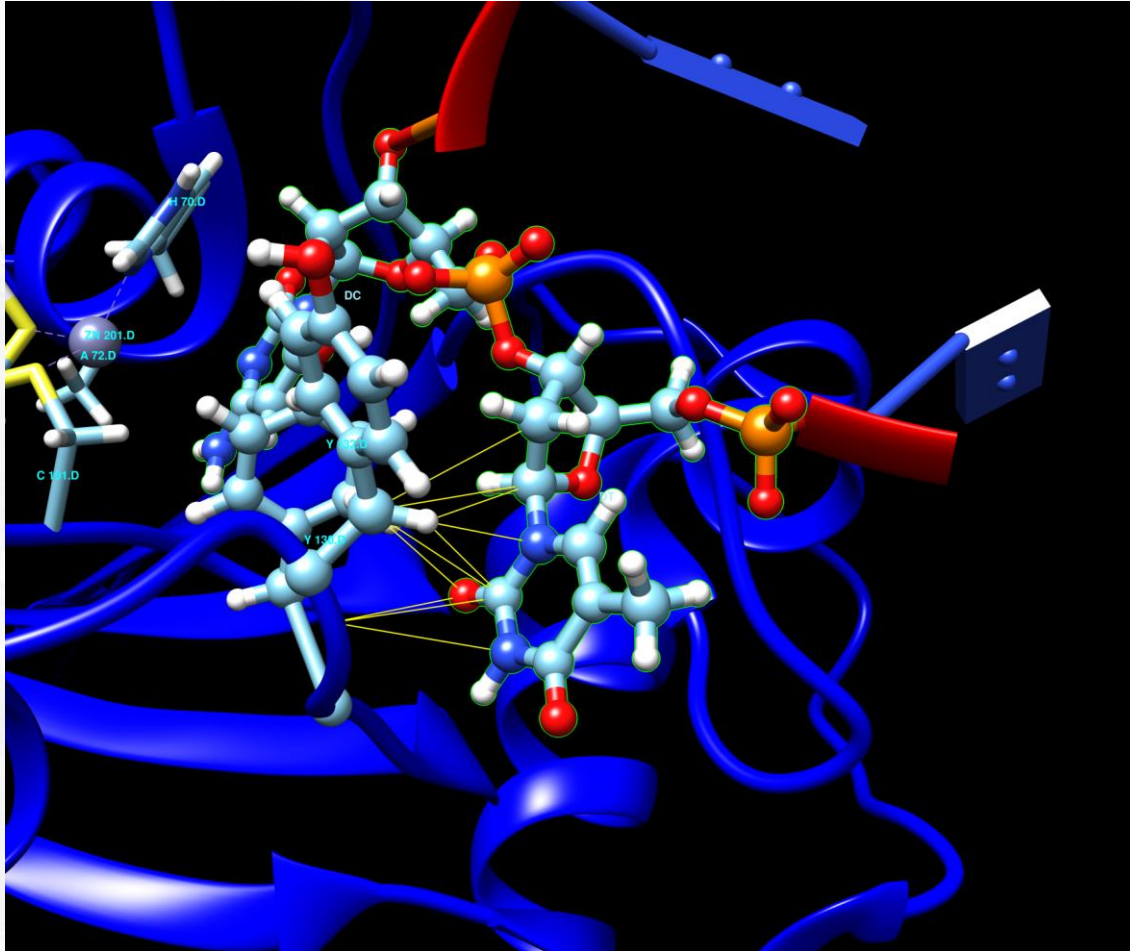
脱氨酶活性口袋: Tyr70, Ala72, Cys191, Cys106
与单链DNA上的TC motif接触的氨基酸: Tyr130和Tyr132
DNA序列: 5'-AT**C**GGG-3'

Y130F和Y132D突变



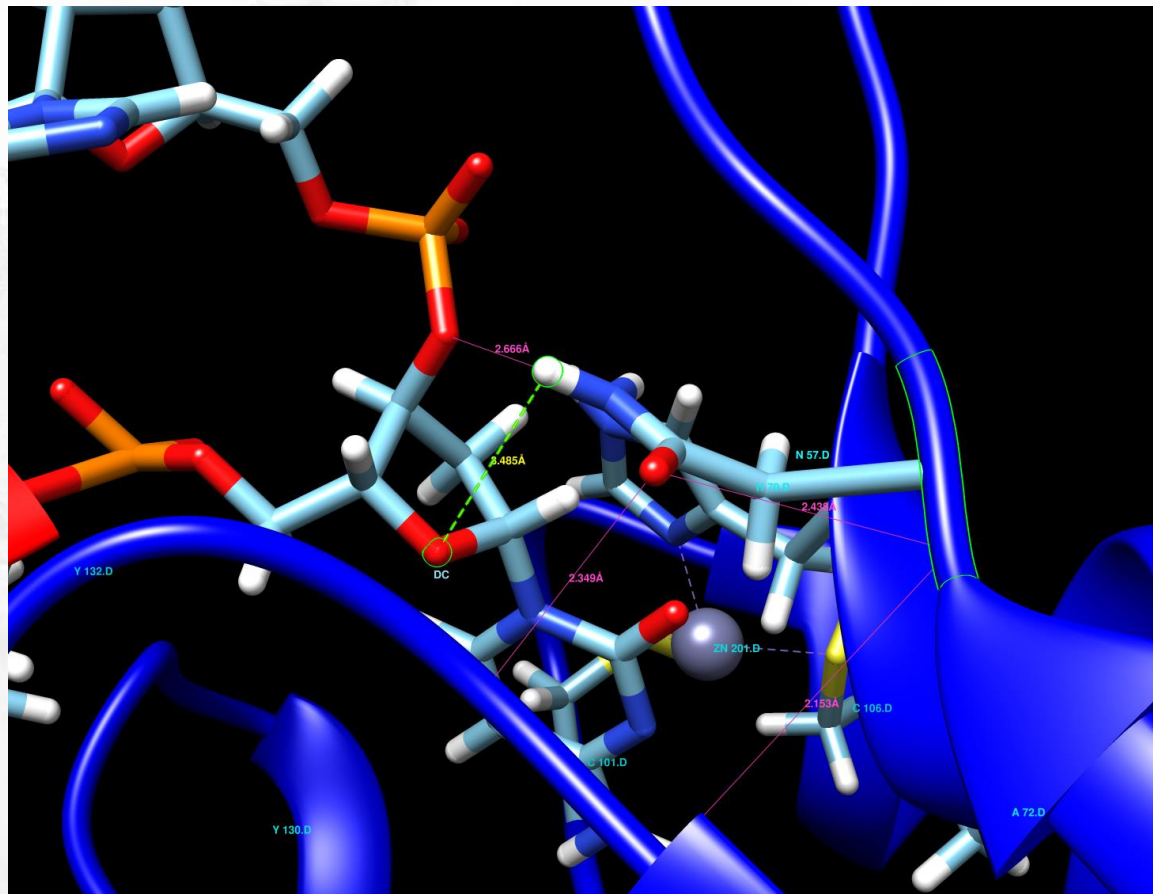
- Tyr130的羟基与DNA的backbone有氢键相互作用（图中粉红色直线显示，1.879Å）
- Tyr130突变为Phe130，氢键相互作用消失，DNA与活性口袋的结合减弱

Y130F和Y132D突变

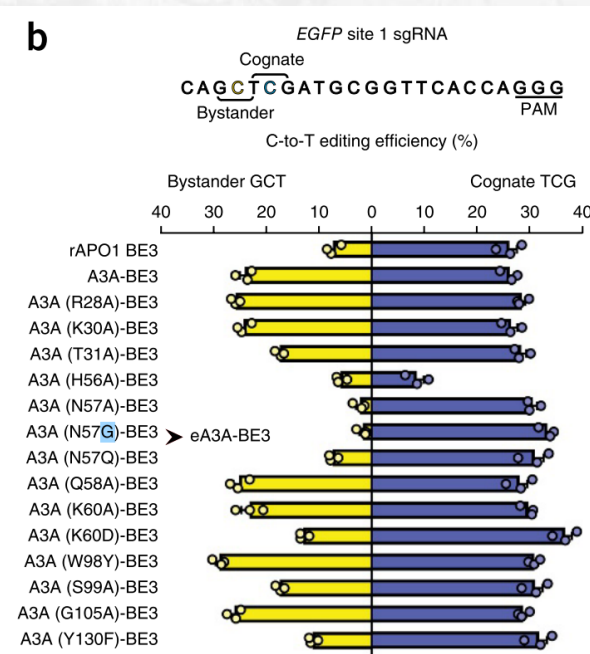


- Tyr132与DNA上的TC motif上的T有很多疏水相互作用
- Tyr132的侧链芳环对这种疏水作用很重要，因为将其突变为Ala，hAPOBEC3A的活性会下降很多，而突变为Phe则与野生型有着相似的活性
- Tyr132突变为Asp后，由于Asp具有强烈的负电性，疏水口袋被破坏，hAPOBEC3A的活性减弱

增强对TC motif的依赖性



- Asn57与TC motif上的C的糖环上的氧原子、以及磷酸骨架上的氧原子有氢键相互作用
- Asn57突变为Gly或者Ala（两者均为非极性氨基酸），减弱了这种相互作用
- 这使得hAPOBEC3A更依赖Tyr132与T的相互作用
- 增强了对TC motif的依赖



Gehrke, J.M., et al, 2018, Nat. Biotechnol

Shi, K., Carpenter, M.A., et al, 2017, Nat. Struct. Mol. Biol

APOBEC同源蛋白的系统发生树

由于并不是所有的需要被编辑的C，都位于TC motif中，仍然需要其他方法来缩小APOBEC的编辑窗口

测试其他的APOBEC同源蛋白，是开发新的、编辑窗口更小、脱靶更低的APOBEC的方法之一

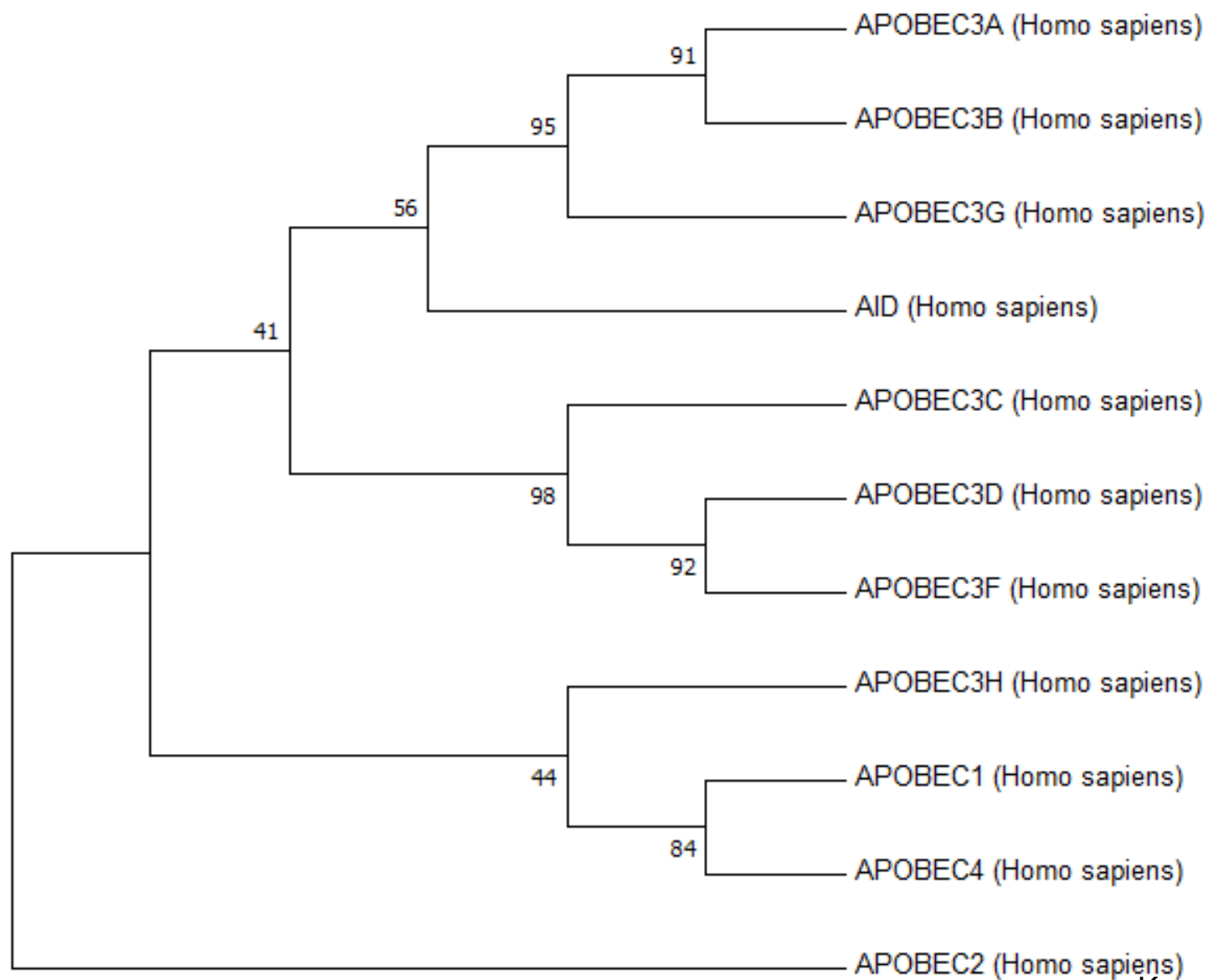
人类APOBEC家族系统发生树的构建

数据来源: UniProt
使用ClustalW比对
使用最大似然法建树
软件: MEGA7

Pairwise Alignment	
Gap Opening Penalty	<input type="text" value="15.00"/>
Gap Extension Penalty	<input type="text" value="5.00"/>
Multiple Alignment	
Gap Opening Penalty	<input type="text" value="15.00"/>
Gap Extension Penalty	<input type="text" value="5.00"/>
Weight	
Use Negative Matrix	<input type="text" value="OFF"/>
Delay Divergent Cutoff (%)	<input type="text" value="30"/>

Option	Setting
ANALYSIS	
Statistical Method	→ <i>Maximum Likelihood</i>
PHYLOGENY TEST	
Test of Phylogeny	→ <i>Bootstrap method</i>
No. of Bootstrap Replications	→ <i>200</i>
SUBSTITUTION MODEL	
Substitutions Type	→ <i>Amino acid</i>
Model/Method	→ <i>Jones-Taylor-Thornton (JTT) model</i>
RATES AND PATTERNS	
Rates among Sites	→ <i>Uniform Rates</i>
No of Discrete Gamma Categories	→ <i>Not Applicable</i>
DATA SUBSET TO USE	
Gaps/Missing Data Treatment	→ <i>Use all sites</i>
Site Coverage Cutoff (%)	→ <i>Not Applicable</i>
TREE INFERENCE OPTIONS	
ML Heuristic Method	→ <i>Nearest-Neighbor-Interchange (NNI)</i>
Initial Tree for ML	→ <i>Make initial tree automatically (Default - NJ/BioNJ)</i>
Initial Tree File	→ <i>Not Applicable</i>
Branch Swap Filter	→ <i>None</i>
SYSTEM RESOURCE USAGE	
Number of Threads	→ <i>7</i>

人类APOBEC家族系统发生树的构建

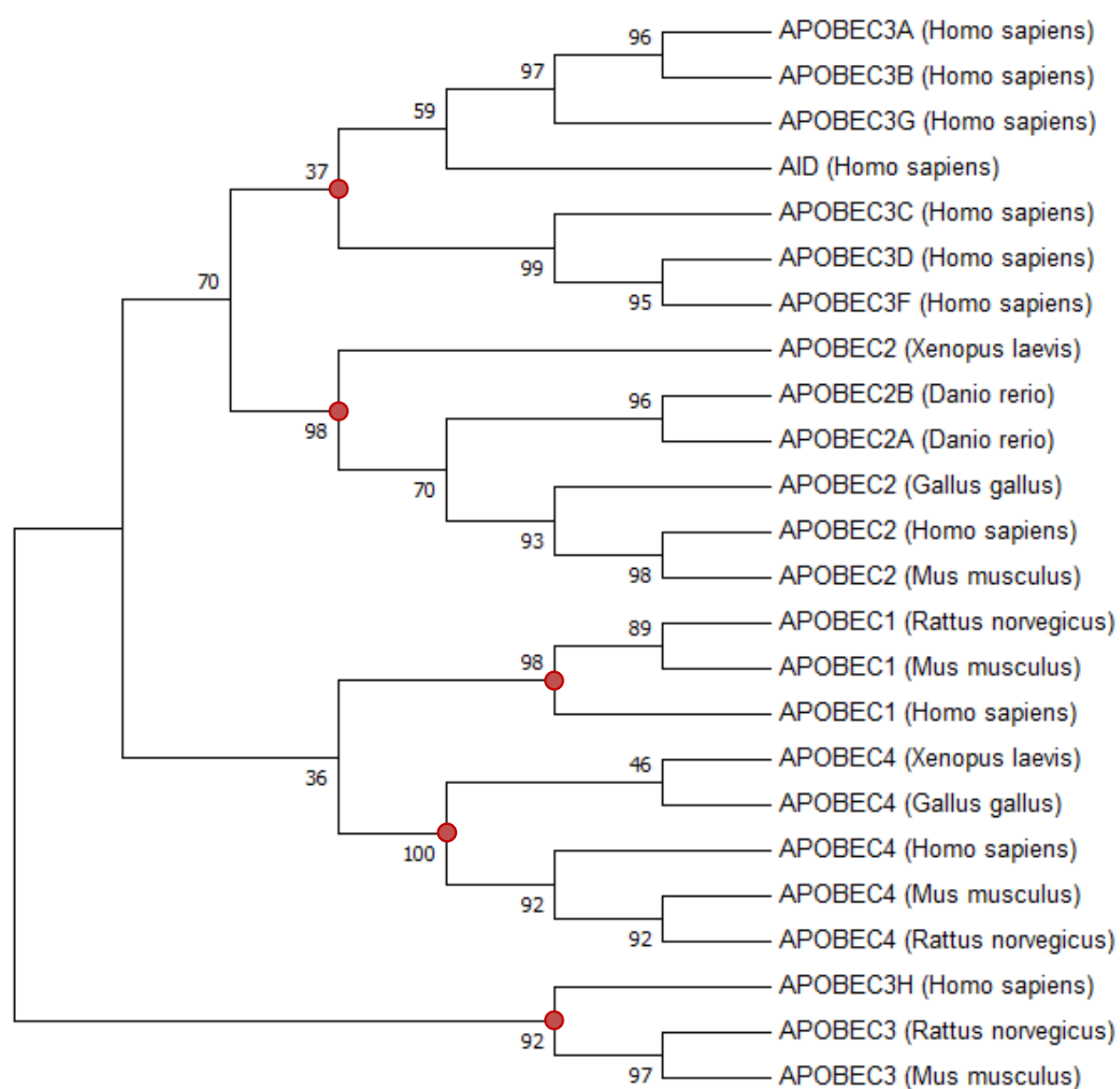


- 假设：亲缘关系越近的旁系同源体，功能和性质越相似，反之差异性越大
- **APOBEC4和APOBEC1与APOBEC3A的亲缘关系最远**，可以作为一个候选蛋白进行测试

代表性物种间APOBEC家族系统发生树的构建

Species	Protein	Count	Source
斑马鱼 (<i>Danio rerio</i>)	APOBEC2a	2	UniProt
	APOBEC2b		
非洲爪蟾 (<i>Xenopus laevis</i>)	APOBEC2	2	
	APOBEC4		
鸡 (<i>Gallus gallus</i>)	APOBEC2	2	
	APOBEC4		
小鼠 (<i>Mus musculus</i>)	APOBEC1	4	
	APOBEC2		
	APOBEC3		
	APOBEC4		
大鼠 (<i>Rattus norvegicus</i>)	APOBEC1	3	
	APOBEC3		
	APOBEC4		

代表性物种间APOBEC家族系统发生树的构建



- 旁系同源蛋白基本上聚类在一起
- 来自大鼠的rAPOBEC1与人源的hAPOBEC3A也有着较远的亲缘关系，两者在甲基化序列上表现出的活性显著不同
- 可以尝试人源的APOBEC2或者小鼠来源的APOBEC2，因为这两者与rAPOBEC1和hAPOBEC3A有着最远的亲缘关系



感谢聆听！

祝寒假快乐！